

Starkniederschlagshöhen und -spenden gemäß KOSTRA-DWD-2020

Rasterfeld 115163

(Zeile 115, Spalte 163)

Regenspende und Bemessungsniederschlagswerte in Abhängigkeit von Wiederkehrzeit T und Dauerstufe D

| Dauerstufe D | | Wiederkehrzeit T | | | | | | | | | | | | | | | | | |
|--------------|-----|------------------|------------|------|------------|------|------------|------|------------|------|------------|------|------------|-------|------------|-------|------------|-------|------------|
| | | 1 a | | 2 a | | 3 a | | 5 a | | 10 a | | 20 a | | 30 a | | 50 a | | 100 a | |
| min | Std | mm | l / (s ha) | mm | l / (s ha) | mm | l / (s ha) | mm | l / (s ha) | mm | l / (s ha) | mm | l / (s ha) | mm | l / (s ha) | mm | l / (s ha) | mm | l / (s ha) |
| 5 | | 6,3 | 210,0 | 7,9 | 263,3 | 8,9 | 296,7 | 10,3 | 343,3 | 12,2 | 406,7 | 14,1 | 470,0 | 15,4 | 513,3 | 17,1 | 570,0 | 19,5 | 650,0 |
| 10 | | 8,6 | 143,3 | 10,8 | 180,0 | 12,2 | 203,3 | 14,0 | 233,3 | 16,6 | 276,7 | 19,3 | 321,7 | 21,1 | 351,7 | 23,4 | 390,0 | 26,7 | 445,0 |
| 15 | | 10,0 | 111,1 | 12,6 | 140,0 | 14,2 | 157,8 | 16,3 | 181,1 | 19,3 | 214,4 | 22,4 | 248,9 | 24,5 | 272,2 | 27,1 | 301,1 | 31,0 | 344,4 |
| 20 | | 11,0 | 91,7 | 13,8 | 115,0 | 15,6 | 130,0 | 17,9 | 149,2 | 21,2 | 176,7 | 24,6 | 205,0 | 26,9 | 224,2 | 29,8 | 248,3 | 34,0 | 283,3 |
| 30 | | 12,4 | 68,9 | 15,6 | 86,7 | 17,5 | 97,2 | 20,1 | 111,7 | 23,9 | 132,8 | 27,7 | 153,9 | 30,2 | 167,8 | 33,6 | 186,7 | 38,3 | 212,8 |
| 45 | | 13,8 | 51,1 | 17,3 | 64,1 | 19,5 | 72,2 | 22,4 | 83,0 | 26,6 | 98,5 | 30,9 | 114,4 | 33,7 | 124,8 | 37,4 | 138,5 | 42,6 | 157,8 |
| 60 | 1 | 14,8 | 41,1 | 18,6 | 51,7 | 21,0 | 58,3 | 24,1 | 66,9 | 28,5 | 79,2 | 33,1 | 91,9 | 36,2 | 100,6 | 40,1 | 111,4 | 45,8 | 127,2 |
| 90 | 1,5 | 16,3 | 30,2 | 20,5 | 38,0 | 23,1 | 42,8 | 26,5 | 49,1 | 31,4 | 58,1 | 36,4 | 67,4 | 39,8 | 73,7 | 44,1 | 81,7 | 50,3 | 93,1 |
| 120 | 2 | 17,4 | 24,2 | 21,8 | 30,3 | 24,6 | 34,2 | 28,2 | 39,2 | 33,5 | 46,5 | 38,9 | 54,0 | 42,4 | 58,9 | 47,1 | 65,4 | 53,7 | 74,6 |
| 180 | 3 | 19,0 | 17,6 | 23,8 | 22,0 | 26,9 | 24,9 | 30,8 | 28,5 | 36,6 | 33,9 | 42,5 | 39,4 | 46,3 | 42,9 | 51,4 | 47,6 | 58,7 | 54,4 |
| 240 | 4 | 20,2 | 14,0 | 25,4 | 17,6 | 28,6 | 19,9 | 32,8 | 22,8 | 38,9 | 27,0 | 45,2 | 31,4 | 49,3 | 34,2 | 54,6 | 37,9 | 62,4 | 43,3 |
| 360 | 6 | 21,9 | 10,1 | 27,6 | 12,8 | 31,1 | 14,4 | 35,7 | 16,5 | 42,3 | 19,6 | 49,2 | 22,8 | 53,6 | 24,8 | 59,5 | 27,5 | 67,9 | 31,4 |
| 540 | 9 | 23,9 | 7,4 | 30,0 | 9,3 | 33,8 | 10,4 | 38,8 | 12,0 | 46,0 | 14,2 | 53,4 | 16,5 | 58,3 | 18,0 | 64,7 | 20,0 | 73,8 | 22,8 |
| 720 | 12 | 25,3 | 5,9 | 31,8 | 7,4 | 35,9 | 8,3 | 41,2 | 9,5 | 48,8 | 11,3 | 56,7 | 13,1 | 61,9 | 14,3 | 68,6 | 15,9 | 78,3 | 18,1 |
| 1080 | 18 | 27,5 | 4,2 | 34,6 | 5,3 | 39,0 | 6,0 | 44,7 | 6,9 | 53,0 | 8,2 | 61,6 | 9,5 | 67,2 | 10,4 | 74,5 | 11,5 | 85,0 | 13,1 |
| 1440 | 24 | 29,1 | 3,4 | 36,6 | 4,2 | 41,3 | 4,8 | 47,4 | 5,5 | 56,2 | 6,5 | 65,3 | 7,6 | 71,2 | 8,2 | 79,0 | 9,1 | 90,1 | 10,4 |
| 2880 | 48 | 33,5 | 1,9 | 42,2 | 2,4 | 47,5 | 2,7 | 54,5 | 3,2 | 64,6 | 3,7 | 75,1 | 4,3 | 81,9 | 4,7 | 90,9 | 5,3 | 103,7 | 6,0 |
| 4320 | 72 | 36,4 | 1,4 | 45,7 | 1,8 | 51,5 | 2,0 | 59,2 | 2,3 | 70,1 | 2,7 | 81,5 | 3,1 | 88,9 | 3,4 | 98,6 | 3,8 | 112,5 | 4,3 |
| 5760 | 96 | 38,5 | 1,1 | 48,5 | 1,4 | 54,6 | 1,6 | 62,7 | 1,8 | 74,3 | 2,1 | 86,3 | 2,5 | 94,2 | 2,7 | 104,5 | 3,0 | 119,2 | 3,4 |
| 7200 | 120 | 40,3 | 0,9 | 50,7 | 1,2 | 57,1 | 1,3 | 65,6 | 1,5 | 77,7 | 1,8 | 90,3 | 2,1 | 98,5 | 2,3 | 109,3 | 2,5 | 124,7 | 2,9 |
| 8640 | 144 | 41,8 | 0,8 | 52,6 | 1,0 | 59,2 | 1,1 | 68,0 | 1,3 | 80,6 | 1,6 | 93,6 | 1,8 | 102,2 | 2,0 | 113,3 | 2,2 | 129,3 | 2,5 |
| 10080 | 168 | 43,1 | 0,7 | 54,2 | 0,9 | 61,1 | 1,0 | 70,1 | 1,2 | 83,2 | 1,4 | 96,6 | 1,6 | 105,4 | 1,7 | 116,9 | 1,9 | 133,4 | 2,2 |

Starkniederschlagshöhen und -spenden gemäß KOSTRA-DWD-2020

Rasterfeld 115163

(Zeile 115, Spalte 163)

Örtliche Unsicherheiten in Abhängigkeit von Wiederkehrzeit T und Dauerstufe D

| Dauerstufe D | | Wiederkehrzeit T | | | | | | | | |
|--------------|-----|------------------|-----|-----|-----|------|------|------|------|-------|
| | | 1 a | 2 a | 3 a | 5 a | 10 a | 20 a | 30 a | 50 a | 100 a |
| min | Std | ± % | ± % | ± % | ± % | ± % | ± % | ± % | ± % | ± % |
| 5 | | 15 | 14 | 13 | 13 | 13 | 13 | 13 | 13 | 13 |
| 10 | | 9 | 10 | 11 | 12 | 13 | 13 | 14 | 14 | 15 |
| 15 | | 11 | 12 | 13 | 14 | 15 | 16 | 16 | 17 | 18 |
| 20 | | 12 | 14 | 15 | 16 | 17 | 18 | 18 | 19 | 19 |
| 30 | | 14 | 16 | 17 | 18 | 19 | 20 | 21 | 21 | 22 |
| 45 | | 15 | 17 | 18 | 19 | 21 | 22 | 22 | 23 | 23 |
| 60 | 1 | 16 | 18 | 19 | 20 | 21 | 22 | 23 | 23 | 24 |
| 90 | 1,5 | 16 | 18 | 19 | 20 | 22 | 23 | 23 | 24 | 24 |
| 120 | 2 | 16 | 18 | 19 | 20 | 22 | 23 | 23 | 24 | 24 |
| 180 | 3 | 15 | 18 | 19 | 20 | 21 | 22 | 23 | 23 | 24 |
| 240 | 4 | 15 | 17 | 19 | 20 | 21 | 22 | 22 | 23 | 23 |
| 360 | 6 | 15 | 17 | 18 | 19 | 20 | 21 | 22 | 22 | 23 |
| 540 | 9 | 14 | 16 | 17 | 18 | 20 | 20 | 21 | 21 | 22 |
| 720 | 12 | 14 | 16 | 17 | 18 | 19 | 20 | 20 | 21 | 22 |
| 1080 | 18 | 13 | 15 | 16 | 17 | 18 | 19 | 20 | 20 | 21 |
| 1440 | 24 | 13 | 15 | 16 | 17 | 18 | 19 | 19 | 20 | 20 |
| 2880 | 48 | 13 | 15 | 15 | 16 | 17 | 18 | 18 | 19 | 19 |
| 4320 | 72 | 13 | 15 | 15 | 16 | 17 | 18 | 18 | 18 | 19 |
| 5760 | 96 | 14 | 15 | 15 | 16 | 17 | 17 | 18 | 18 | 19 |
| 7200 | 120 | 14 | 15 | 15 | 16 | 17 | 17 | 18 | 18 | 19 |
| 8640 | 144 | 14 | 15 | 15 | 16 | 17 | 17 | 18 | 18 | 19 |
| 10080 | 168 | 15 | 15 | 16 | 16 | 17 | 17 | 18 | 18 | 18 |

Parameter für abweichende T und D

Lokationsparameter ξ (Xi)

15,43838547

Skalenparameter α (Alpha)

5,52740603

Formparameter κ (Kappa)

-0,1

1. Koutsoyiannis-Parameter θ (Theta)

0,05340365

2. Koutsoyiannis-Parameter η (Eta)

0,79933772

Parameter für dauerstufenübergreifende Extremwertschätzung nach KOUTSOYIANNIS et al. 1998.

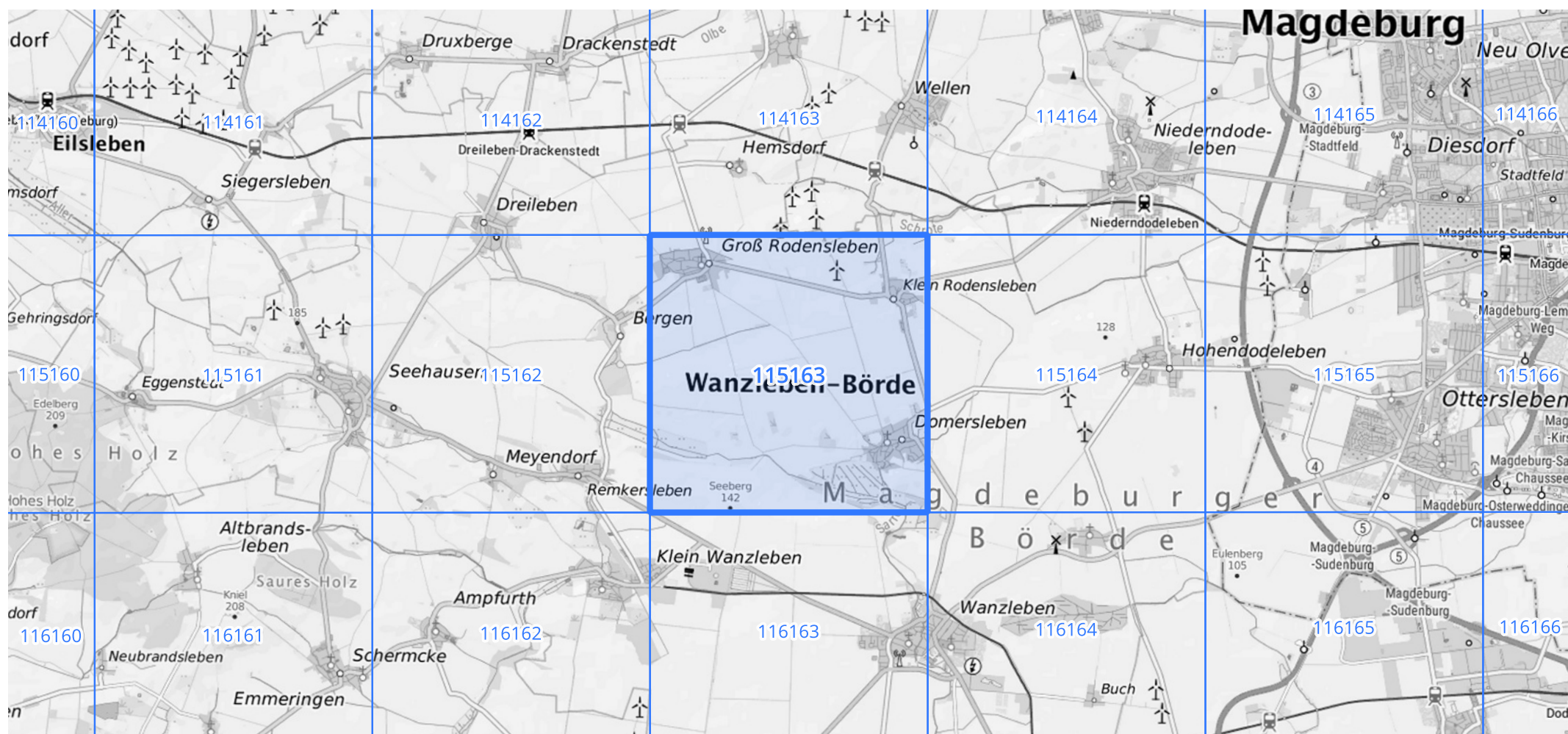
Siehe auch Anwendungshilfe zu KOSTRA-DWD-2020 des Deutschen Wetterdienstes.

Starkniederschlagshöhen und -spenden gemäß KOSTRA-DWD-2020

Rasterfeld 115163

(Zeile 115, Spalte 163)

Übersichtskarte des Rasterfeldes 115163, M 1 : 100 000



Quelle Rasterdaten: KOSTRA-DWD-2020 des Deutschen Wetterdienstes, Stand 12/2022.

Seite 3 von 3

Kartendarstellung: © Bundesamt für Kartographie und Geodäsie (2023), Datenquellen: https://sgx.geodatenzentrum.de/web_public/gdz/datenquellen/Datenquellen_TopPlusOpen.html

Für die Richtigkeit und Aktualität der Angaben wird keine Gewähr übernommen. Erstellt 01/2023.